



اولویت‌بندی روش‌های توسعه کم اثر به منظور مدیریت رواناب سطحی شهری، با استفاده از روش Fuzzy TOPSIS و TOPSIS (مطالعه موردی: شهرک سپاهان شهر اصفهان)

نیلوفر عقیلی مهابادی، حامد رضا ظریف صنایعی*، سید مرتضی هاتفی

گروه مهندسی عمران، دانشکده فنی و مهندسی، دانشگاه شهرکرد، شهرکرد، ایران.

تاریخچه داوری:

دریافت: ۱۳۹۹/۰۳/۳۱

بازنگری: ۱۳۹۹/۰۵/۰۵

پذیرش: ۱۳۹۹/۰۵/۰۷

ارائه آنلاین: ۱۳۹۹/۰۶/۰۱

کلمات کلیدی:

رواناب

روش‌های LID

SWMM مدل

روش TOPSIS

روش Fuzzy TOPSIS

خلاصه: در دهه‌های اخیر به دلیل گسترش شهرنشینی، درصد مناطق مسکونی و صنعتی و در نتیجه درصد مناطق نفوذناپذیر افزایش یافته است. این امر موجب افزایش رواناب سطحی شهرها شده است. بنابراین لازم است تا با استفاده از راهکارهایی همچون روش‌های توسعه کم اثر، مقادیر رواناب سطحی در شهرها کنترل شود. در این پژوهش از ۶ روش توسعه کم اثر (LID) که شامل: روکش نفوذناپذیر، بشکه ذخیره باران، ترانشه نفوذ، سیستم نگهداری زیستی، روکش نفوذناپذیر-ترانشه نفوذ و بشکه ذخیره باران-سیستم نگهداری زیستی، استفاده شده است. این روش‌ها توسط ۴ شاخص کاهش حجم رواناب، کاهش دبی اوج رواناب، اقتصادی و اجتماعی مورد ارزیابی قرار گرفتند. برای تعیین مقادیر شاخص‌های هیدرولوژیک حجم و دبی اوج رواناب از مدل SWMM، برای تعیین مقادیر شاخص اقتصادی (هزینه) از فهرست آنالیز بها و برای شاخص اجتماعی، تعداد ۲۰ پرسشنامه توسط متخصصان محلی، تکمیل شد. در ادامه و به منظور اولویت‌بندی روش‌های LID، از دو معیار تصمیم‌گیری چند شاخصه شامل: Fuzzy و TOPSIS، TOPSIS، با در نظر گرفتن حالت‌های وزن دهی آنتروپی شانون، یکسان، تأکید بر معیار اقتصادی و تأکید بر معیار هیدرولوژیک برای روش TOPSIS و حالت وزنده آنتروپی شانون فازی برای روش Fuzzy TOPSIS، استفاده شد. نتایج نشان داد که در روش TOPSIS و در حالت‌های وزن دهی یکسان، تأکید بر معیار اقتصادی و تأکید بر معیار هیدرولوژیک، ساریوی ترکیبی بشکه باران-سیستم نگهداری زیستی و در حالت وزن دهی آنتروپی شانون، ساریوی بشکه باران به عنوان ساریوی برتر انتخاب شدند. همچنین در روش Fuzzy TOPSIS، ساریوی سیستم نگهداری زیستی، رتبه اول را کسب نمود.

۱- مقدمه

شهری مورد استفاده قرار گرفته است، روش‌های توسعه کم اثر یا 'LID' است. این تکنیک در واقع یک روش ابتکاری برای مدیریت سیالاب‌های شهری است. هدف استفاده از این تکنیک، شبیه‌سازی شرایط هیدرولوژیک منطقه شهری، قبل از توسعه است. استفاده از این تکنیک‌ها مزایای زیادی به همراه دارد که از جمله آن می‌توان به حفظ طبیعت و اکولوژی موجود، جلوگیری از افزایش سطوح نفوذناپذیر، کاهش حجم و سرعت رواناب سطحی، حفظ کیفیت آبهای سطحی و زیرسطحی، کاهش آلاینده‌های ورودی به رواناب و ارتقاء محیط زندگی به لحاظ مسائل زیبایی شناختی، اجتماعی، فرهنگی و غیره اشاره کرد. از جمله دلایل برتری استفاده از این روش‌ها، نسبت به روش‌های سنتی کنترل سیالاب‌های شهری، می‌توان به سازگاری بیشتر این روش‌ها با محیط زیست، مدیریت رواناب در نزدیکی منشأ تولید، امكان اصلاح و بهبود کیفیت رواناب سطحی در مقایسه با روش‌های سنتی

در سال‌های اخیر، با رشد سریع جمعیت، توسعه روزافزون شهرنشینی و صنعتی شدن جوامع، هیدرولوژی حوضه‌های آبخیز شهری، دچار تغییرات زیادی شده است. این تغییرات در طی زمان موجب بروز سیالاب و آبگرفتگی معتبر در نواحی شهری شده و از سویی دیگر وقوع سیالاب در مناطق شهری به دلیل تراکم جمعیت و امکانات، می‌تواند خسارات جبران ناپذیری را به همراه داشته باشد. همچنین به دلایل کمبود منابع آب، وجود اقلیم‌های خشک و نیمه‌خشک و توزیع نامناسب مکانی و زمان بارش، ضرورت مدیریت پایدار منابع آب و همچنین بهره‌برداری بهینه از آن در کشور، بسیار حائز اهمیت است [۱]. به همین منظور مطالعه و بررسی راهکارهای مدیریت و کنترل رواناب سطحی، در مناطق شهری، از اهمیت ویژه‌ای برخوردار است. یکی از راهکارهای نوینی که امروزه در مدیریت رواناب سطحی در مناطق

* نویسنده عهده‌دار مکاتبات: Zarif@sku.ac.ir

1 Low Impact Development

حقوق مؤلفین به نویسنده‌گان و حقوق ناشر به انتشارات دانشگاه امیرکبیر داده شده است. این مقاله تحت لیسانس آفرینندگی مردمی (Creative Commons License) در دسترس شما قرار گرفته است. برای جزئیات این لیسانس، از آدرس <https://www.creativecommons.org/licenses/by-nc/4.0/legalcode> دیدن فرمائید.



حدود ۳۰ درصد میزان رواناب را کاهش داد. لیو^۴ و همکاران [۸] به طراحی بهینه روش‌های LID، با استفاده از الگوریتم جهش قورباغه‌ای پرداختند (MOSFLA). سپس پیشنهادها برای کاهش تقاضای شیمیایی اکسیژن (COD)، در حوضه‌ای واقع در چین، مورد آزمایش قرار گرفت. برای این کار از مدل SWMM و زنجیره‌ی مارکو^۵ بهره گرفتند. نتایج تحقیقات نشان داد که استفاده از الگوریتم جدید در مقایسه با الگوریتم‌های متداول ۵۰۰ برابر مؤثر واقع شده است. خطای نسبی بین دو روش SWMM و زنجیره مارکو کمتر از پنج درصد بود. راندال^۶ و همکاران [۹] به بررسی تأثیر استفاده از روش‌های توسعه‌ی کم اثر (LID) بر میزان رواناب شهری و نگهداشت آب باران پرداختند. هدف آن‌ها از اجرای این روش‌ها ذخیره‌سازی ۸۰–۸۵ درصد آب باران شهر پکن در چین بود. آن‌ها با اجرای سه سناریوی بام سبز، جوی باغچه و روکش نفوذپذیر در دوره بازگشت ۳۵ ساله‌ی بارندگی، به این نتیجه رسیدند که با اجرای ۳۰ درصد بام سبز، ۱۰ درصد جوی باغچه و ۳۵ درصد روکش نفوذپذیر، از مساحت کل منطقه، میزان ذخیره آب باران از ۵۹/۹ درصد به ۸۲/۲ درصد افزایش می‌یابد.

تقسیم‌بندی مدل‌های تصمیم‌گیری چند معیاره، به دو دسته مدل‌های چند هدفه^۷ و مدل‌های چند شاخصه، می‌باشد. کارایی مدل‌های چند هدفه به منظور طراحی و کارایی مدل‌های چند شاخصه به منظور انتخاب گزینه برتر از میان تعدادی گزینه است. معرفی مدل‌های چند شاخصه در سال ۱۹۷۵ توسط چرچمن^۸، اکاف^۹ و آرنوف^{۱۰} صورت گرفت [۱۰]. از پژوهش‌های انجام شده در این زمینه نیز می‌توان به جبل‌عاملى و همکاران [۱۱] اشاره نمود. آن‌ها با استفاده از روش TOPSIS برای حل مسأله رتبه‌بندی ریسک‌های یک پژوهه واقعی صنعت انرژی در کشور ایران پرداختند. لگزیان [۱۲] به شناسایی سناریوهای مدیریت رواناب سطحی در شهر نیشاپور، پرداخت. برای این منظور با استفاده از روش تصمیم‌گیری چندمعیاره و با بکارگیری پنج معیار اجتماعی، اقتصادی، هیدرولوژیک فنی و زیستمحیطی، سناریوهای مدیریتی را در حالت‌های مختلف وزن‌دهی، اولویت‌بندی نمود.

در این پژوهش سعی شده است تا با استفاده از مدل SWMM به شبیه‌سازی رواناب سطحی شهرک سپاهان شهر و بررسی تأثیر استفاده از روش‌های LID بر میزان حجم و دبی اوج رواناب پرداخته شود. در ادامه به

و حفاظت از سلامت عمومی و ارتقاء وضعیت محیط زیستی و زیبایی نواحی شهری اشاره کرد [۲]. مطالعات زیادی در خصوص استفاده از روش‌های توسعه کم اثر برای کنترل رواناب شهری انجام شده است. جیا^۱ و همکاران [۳] در تحقیقی برای کنترل رواناب شهری از روش‌های LID_BMP استفاده کردند. دهکده المپیک پکن (BOV)، به عنوان منطقه مطالعاتی انتخاب شد. روش‌های مورد استفاده در این تحقیق شامل: آسفالت نفوذپذیر، بام سبز و مخازن ذخیره باران بودند که با استفاده از مدل SWMM به شبیه‌سازی شبکه زهکشی پرداختند. عملکرد سیستم فاضلاب این منطقه با مدل (BMPDSS) که بهترین مدل مدیریت و تجزیه و تحلیل می‌باشد، ارزیابی شد. در نهایت بهترین اقدامات لازم در خصوص کنترل رواناب سطحی در منطقه مورد مطالعه را ارائه نمودند. سلیمانی و همکاران [۴] با استفاده از مدل SWMM و با فرض سناریوهای سنتی (افزایش ابعاد کanal) و نوین (جوی باغچه) به شبیه‌سازی میزان رواناب ایجاد شده در شهر گلستان استان تهران پرداختند. این پژوهش نشان داد که سیستم جوی باغچه کارایی بهتری نسبت به روش سنتی دارد و قادر به کاهش سیالاب به میزان ۵۹ درصد در این منطقه است. کامپیزانو^۲ و همکاران [۵] به ارزیابی یکی از روش‌های LID-BMP یعنی روش توسعه‌ی کم اثر توسط مدل SWMM در بارش‌های طولانی مدت و کم رخداد پرداختند و نتایج شبیه‌سازی نشان داد که دقت استفاده از این سیستم در بارش‌های طولانی مدت بیشتر است. پورصاحبی و همکاران [۶] اقدام به بررسی تأثیر روش‌های LID-BMP با استفاده از مدل SWMM بر میزان رواناب منطقه ۲۲ تهران کردند. این پژوهش شامل پنج سناریوی شرایط فعلی، بام سبز، صفحه‌ی نفوذپذیر، جوی باغچه و بام سبز-صفحه‌ی نفوذپذیر-جوی باغچه، با دوره بازگشت‌های ۱۰، ۵، ۲ و ۱۰۰ ساله برای ۱۹ زیروحش در این منطقه بود. نتایج نشان داد که اثر بخشی هر ۵ روش، در کاهش رواناب با دوره بازگشت‌های ۲، ۵، ۱۰ و ۵۰ سال روند صعودی داشته، ولی در دوره بازگشت ۱۰۰ ساله، اثر این روش‌ها کاهش می‌یابد. اجرای بام سبز بیشترین و جوی باغچه کمترین اثر را در کاهش مقدار رواناب داشتند. ونگ^۳ و همکاران [۷] به ارزیابی و مدل‌سازی ابزارهای کاهش رواناب، با استفاده از مدل SWMM پرداختند. آن‌ها از سه سناریوی سنگ فرش متخلفل، جمع‌آوری آب باران و بام سبز استفاده کردند که سنگ فرش متخلفل بهترین ابزار در کاهش حجم رواناب بود و

4 Liu

5 the markov chain

6 Randall

7 Multi-objective Decision

8 Churchman

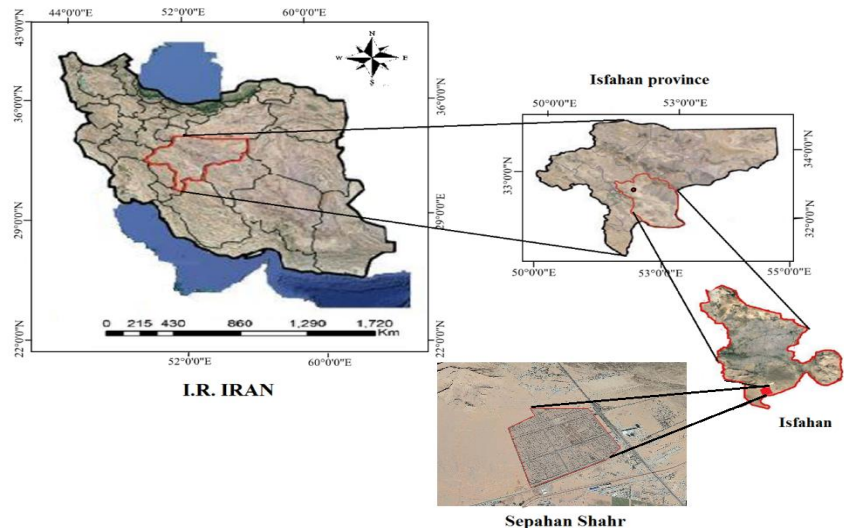
9 Acoff

10 Arnoff

1 Jia

2 Campisano

3 Wang



شکل ۱. موقعیت منطقه مطالعاتی

Fig. 1. Location of the study region

شانون^۱، یکسان، تأکید بر معیار اقتصادی و تأکید بر معیار هیدرولوژیک، اولویت‌بندی شدند. از طرفی به دلیل وجود دو شاخص عدم قطعیت اقتصادی و اجتماعی، از الگوریتم Fuzzy TOPSIS، براساس وزن‌دهی آنتروپی شانون فازی، برای اولویت‌بندی راهکارهای ارائه شده استفاده شد و بهترین روش LID، انتخاب گردید.

منظور اولویت‌بندی این روش‌ها در منطقه مطالعاتی، بر اساس ۴ شاخص تصمیم‌گیری، از الگوریتم TOPSIS، در حالت‌های وزن‌دهی آنتروپی شانون فازی، یکسان، تأکید بر معیار اقتصادی و تأکید بر معیار هیدرولوژیک، و از الگوریتم Fuzzy TOPSIS، در حالت وزن‌دهی آنتروپی شانون فازی، استفاده شده است. در نهایت نیز بهترین روش‌ها نیز در منطقه مطالعاتی مورد نظر معرفی شده‌اند.

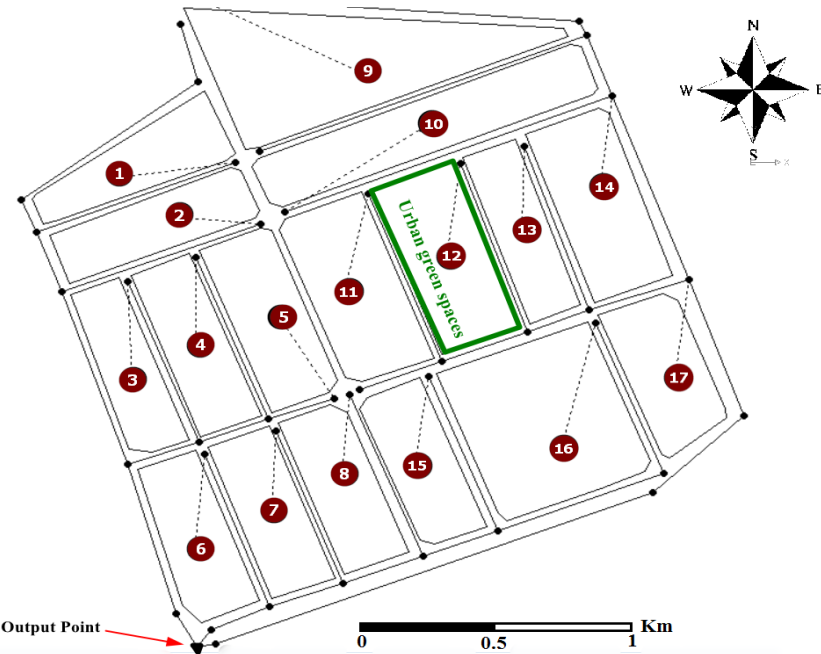
۱- منطقه مطالعاتی

شهرک سپاهان شهر در ۳/۵ کیلومتری جنوب غربی اصفهان با طول جغرافیایی "۳۲°۵۷' ۵۷" و عرض جغرافیایی "۴۰°۲۸' ۵۱" شرقی و محدوده در سال ۱۳۷۱ شمسی جانمایی شد و عملیات اجرایی آن به مساحت ۴۱۱۷۹۱۲ متر مربع آغاز گردید. موقعیت منطقه مطالعاتی در شکل ۱ قابل مشاهده است.

این شهرک به دلیل داشتن شبکه متوسط ۴ درصدی (که جهت شبکه از شمال به جنوب می‌باشد) و عدم وجود کانال برای هدایت رواناب در برخی خیابان‌های منطقه مطالعاتی، با مشکل آبگرفتگی معاشر بخصوص در قسمت جنوبی مواجه است. از طرفی موقعیت جغرافیایی این منطقه سبب شده است که باران‌ها به صورت رگباری با شدت زیاد و مدت کم رخ دهدند که در بازه زمانی کوتاهی شاهد آبگرفتگی خیابان‌های این شهرک هستیم. بنابرین وجود راهکارهای مدیریت رواناب شهری در این منطقه، لازم و ضروری است.

۲- مواد و روش‌ها

ابتدا با شبیه‌سازی شبکه جمع‌آوری رواناب سطحی شهری شهرک سپاهان شهر در مدل SWMM، مقدار حجم و دبی اوج رواناب کل حوضه در خروجی منطقه مطالعاتی به دست آمد. سپس با اعمال ۶ روش توسعه‌ای کم اثر « بشکه باران »، « آسفالت نفوذپذیر »، « ترانشه نفوذ »، « سیستم نگهداری زیستی »، « آسفالت نفوذپذیر-ترانشه نفوذ » و « بشکه باران-سیستم نگهداری زیستی »، میزان حجم و دبی اوج رواناب کاهش یافته در اثر هر کدام از این روش‌ها بررسی شد. بعد از این مرحله و به منظور تصمیم‌گیری برای انتخاب بهترین روش LID، از ۴ شاخص تصمیم‌گیری « حجم رواناب » کاهش یافته، « دبی اوج رواناب » کاهش یافته، « اقتصادی » و « اجتماعی » استفاده شده است. در نهایت، هر یک از روش‌های توسعه کم اثر، با بکارگیری الگوریتم TOPSIS، در حالت‌های وزن‌دهی آنتروپی



شکل ۲. حوضه‌بندی شهرک سپاهان شهر و خروجی حوضه

Fig. 2. Location of sub-catchment and output point of catchment

میدانی و با کمک نرم‌افزار Civil 3D به دست آمدند. اطلاعات هواشناسی (شامل رابطه و منحنی‌های شدت-مدت-فراوانی بارش‌ها، مقادیر مشاهداتی بارش‌ها در چند رویداد مشخص و ...) که از طریق روابط و نمودارهای ارائه شده توسط صفوی و همکاران [۱۳] و داده‌های ارائه شده توسط سازمان هواشناسی تهیه شدند. مقادیر شدت بارش‌ها بر حسب میلی‌متر بر ساعت در ۶ دوره بازگشت مختلف ۲، ۵، ۱۰، ۲۰، ۵۰ و ۱۰۰ ساله بدست آمده است که این مقادیر بر حسب مدت تداوم، در جدول ۱ و نمودارهای شکل ۳ آورده شده‌اند [۱۳].

همان‌طور که در شکل ۳ نشان داده شده است، شدت بارش در دوره بازگشت ۱۰۰ ساله دارای بیشترین مقدار و دوره بازگشت ۲ ساله دارای کمترین مقدار و در پایین‌ترین قسمت نمودار قرار گرفته است.

۲-۲-۲- شاخص اقتصادی (هزینه)

یکی از اصلی‌ترین بخش‌های انجام هر پژوهش‌های، بخش اقتصادی و هزینه‌هایی است که اجرای آن طرح به همراه دارد. در این پژوهش ابتدا مساحت تحت پوشش هر روش LID تعیین شد. سپس هزینه اجرای هر یک از سناریوهای مدیریت رواناب شهری در کل حوضه و با توجه به

در این پژوهش شهرک سپاهان شهر به ۱۷ زیر حوضه تقسیم‌بندی شده است که در ۱۶ زیر حوضه به بررسی روش‌های LID پرداخته شد (به غیر از زیر حوضه ۱۲ که فضای سبز شهری است و به خودی خود شامل یکی از روش‌های توسعه کم اثر می‌شود، لذا سعی شده است، سناریوها در زیر‌حوضه‌هایی اعمال شوند که ماهیت روش‌های توسعه کم اثر را نداشته باشند). در شکل ۲ نحوه حوضه‌بندی منطقه مطالعاتی و خروجی حوضه، نشان داده شده است.

۲-۲-۲- شاخص‌های تصمیم‌گیری

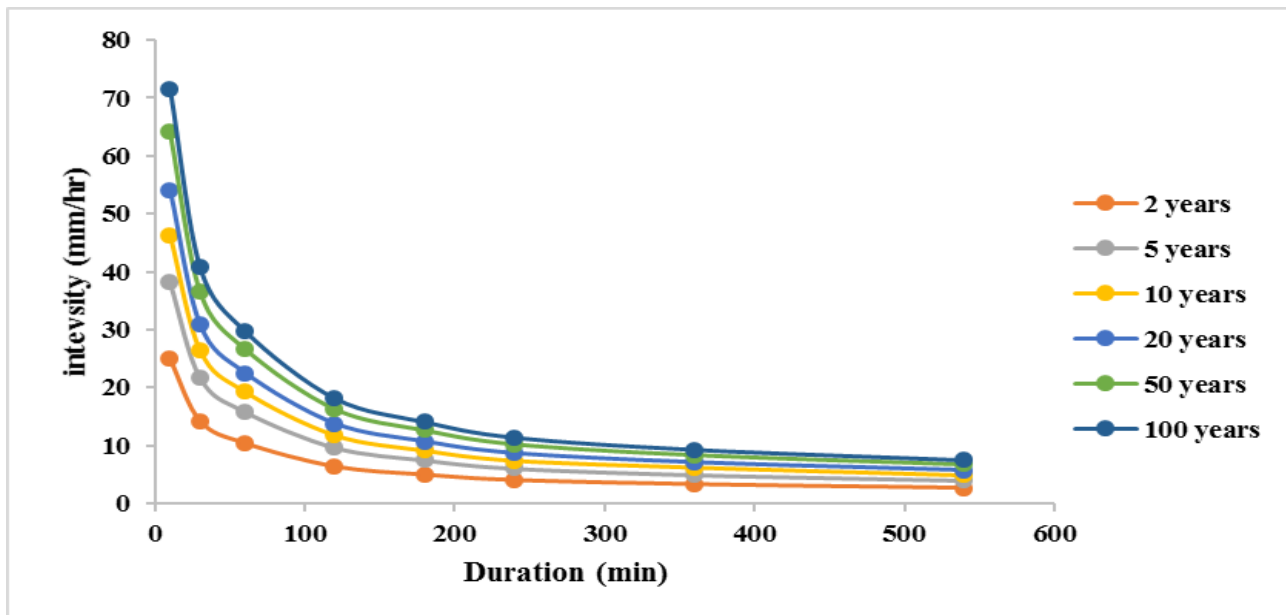
۲-۲-۱- شاخص حجم و دبی اوج رواناب

برای به دست آوردن میزان حجم و دبی اوج رواناب کاوش یافته در اثر اعمال روش‌های LID، شبیه‌سازی رواناب سطحی شهر، یکبار بدون در نظر گرفتن روش‌های LID و بار دیگر با اعمال این روش‌ها انجام شد. اطلاعات ورودی به مدل SWMM، جهت انجام شبیه‌سازی عبارت بودند از: اطلاعات زیر‌حوضه‌ها (شامل مساحت، محیط، درصد مناطق نفوذناپذیر، عدد منحنی رواناب، شبیب متوسط هر زیر‌حوضه و غیره) که با استفاده از نقشه‌های کاربری اراضی، نقشه‌های طرح تفصیلی بازدیدهای

جدول ۱. مقادیر شدت-مدت-فراوانی بارش‌ها برای دوره بازگشت‌های مختلف در اصفهان

Table 1. Intensity-Duration-Frequency values of precipitation for different return periods in Isfahan

| ۴۵۰ | ۳۶۰ | ۲۴۰ | ۱۸۰ | ۱۲۰ | ۶۰ | ۳۰ | ۱۰ | تداوم (دقیقه) دوره بازگشت (سال) |
|-------|-------|--------|--------|--------|--------|--------|--------|------------------------------------|
| ۲/۶۱۲ | ۳/۲۶۴ | ۳/۹۷۶ | ۴/۹۱۲ | ۶/۳۳۳ | ۱۰/۳۹۰ | ۱۴/۲۶۴ | ۲۵/۰۰۲ | ۲ |
| ۳/۹۹۴ | ۴/۹۶۱ | ۶/۰۷۵ | ۷/۵۰۳ | ۹/۶۷۲ | ۱۵/۸۶۴ | ۲۱/۷۵۶ | ۳۸/۱۸۶ | ۵ |
| ۴/۸۴۸ | ۶/۲۰۱ | ۷/۳۷۳ | ۹/۱۰۵ | ۱۱/۷۳۷ | ۱۹/۲۴۹ | ۲۶/۴۰۰ | ۴۶/۲۹۱ | ۱۰ |
| ۵/۶۶۵ | ۷/۰۳۵ | ۸/۶۱۴ | ۱۰/۶۳۷ | ۱۳/۷۱۲ | ۲۲/۴۷۸ | ۳۰/۸۳۴ | ۵۴/۰۷۲ | ۲۰ |
| ۶/۷۲۳ | ۸/۳۴۹ | ۱۰/۲۲۲ | ۱۲/۶۲۳ | ۱۶/۲۷۱ | ۲۶/۶۸۲ | ۳۶/۵۸۱ | ۶۴/۱۵۵ | ۵۰ |
| ۷/۵۰۰ | ۹/۳۱۲ | ۱۱/۴۰۱ | ۱۴/۰۷۹ | ۱۸/۱۴۶ | ۲۹/۷۵۶ | ۴۰/۷۹۲ | ۷۱/۵۴۳ | ۱۰۰ |



شکل ۳. دسته منحنی‌های شدت-مدت-فراوانی ایستگاه هواشناسی اصفهان

Fig. 3. The Intensity-Duration-Frequency curves of Isfahan Meteorological Station

مطالعات قبلی و فهرست بهای اینیه تعیین گردید.

۲-۳-۳- شاخص اجتماعی

$$\mu_A(x) = \begin{cases} \frac{x-a}{b-a} & a \leq x \leq b \\ \frac{c-x}{c-b} & b \leq x \leq c \\ 0 & \text{otherwise} \end{cases} \quad (2)$$

عملگرهای حسابی بین دو عدد فازی مثلثی $\tilde{A} = (a, b, c)$ و $\tilde{B} = (e, f, g)$ به صورت زیر می‌باشند [۸]:

$$\tilde{A} \oplus \tilde{B} = (a, b, c) \oplus (e, f, g) = (a + e, b + f, c + g) \quad (3)$$

$$\tilde{A} \ominus \tilde{B} = (a, b, c) \ominus (e, f, g) = (a - e, b - f, c - g) \quad (4)$$

$$\tilde{A} \otimes \tilde{B} = (a, b, c) \otimes (e, f, g) \approx (ae, bf, cg) \quad (5)$$

$$r \otimes \tilde{A} \approx (ra, rb, rc) \quad (6)$$

$$\tilde{A} \oslash \tilde{B} = (a, b, c) \oslash (e, f, g) \approx \left(\frac{a}{g}, \frac{b}{f}, \frac{c}{e} \right) \quad (7)$$

در این پژوهش نیز برای در نظر گرفتن عدم قطعیت دو شاخص اقتصادی و اجتماعی، از اعداد فازی مثلثی استفاده شده است.

۲-۳-۳- نظریه مجموعه فازی

۲-۳-۱- مجموعه‌های فازی

نظریه مجموعه‌های فازی که برای اولین بار توسط زاده [۱۴] ارائه شده است، راهکاری برای مقابله با عدم قطعیت، می‌باشد. مجموعه فازی A به صورت زیر تعریف می‌گردد که در در آن $(x, \mu_A(x))$ تابع عضویت مجموعه فازی A می‌باشد [۸]:

$$A = \{(x, \mu_A(x)) \mid x \in A, \mu_A(x): X \rightarrow [0,1]\} \quad (1)$$

۲-۳-۲- اعداد فازی

عدد فازی A ، یک مجموعه فازی روی خط اعداد حقیقی است که در دو شرط نرمال بودن و تحدب صدق کند و اعداد فازی، مرسومترین نوع مجموعه‌های فازی می‌باشند. اعداد فازی انواع مختلفی دارند، که یکی از آنها عدد فازی مثلثی است. $\tilde{A} = (a, b, c)$ را عدد فازی مثلثی گویند؛ به طوری که a کران پایین، b میانه و c کران بالا می‌باشند. تابع عضویت \tilde{A} به صورت زیر تعریف می‌شود:

۴-۲-۲- آنتروپی شانون فازی

آنتروپی شانون فازی یکی از روش‌های وزن‌دهی به شاخص‌های ماتریس تصمیم می‌باشد و هنگامی از آن استفاده می‌شود که داده‌های ماتریس تصمیم به صورت بازه‌ای یا اعداد فازی باشند. مراحل روش آنتروپی شانون فازی به شرح زیر است [۱۵-۱۷]:

گام اول: تبدیل داده‌های فازی به داده‌های بازه‌ای (استفاده از مجموعه برش آلفا). یک مجموعه سطح آلفا از متغیر فازی (\tilde{x}_{ij}) شامل مجموعه عناصری می‌باشد که متعلق به متغیر فازی (\tilde{x}_{ij}) می‌باشند به طوری که درجه عضویت این عناصر از آلفا بزرگتر یا مساوی باشد:

$$(\tilde{x}_{ij})_a = \left\{ x_{ij} \in R \mid \mu_{\tilde{x}_{ij}}(x_{ij}) \geq \alpha \right\} \quad (11)$$

فرم بازه‌ای مجموعه سطح آلفا به صورت زیر می‌باشد:

$$\begin{aligned} [x'_{ij}, x''_{ij}] &= \left[(\tilde{x}_{ij})_a^L, (\tilde{x}_{ij})_a^U \right] = \\ &[\min_{\tilde{x}_{ij}} \left\{ x_{ij} \in R \mid \mu_{\tilde{x}_{ij}}(x_{ij}) \geq \alpha \right\}, \\ &\max_{\tilde{x}_{ij}} \left\{ x_{ij} \in R \mid \mu_{\tilde{x}_{ij}}(x_{ij}) \geq \alpha \right\}] \end{aligned} \quad (12)$$

در این رابطه، $0 < \alpha \leq 1$ است که با قرار دادن مقادیر مختلف برای سطح اطمینان یعنی $\alpha = 1$ ، داده فازی به بازه تبدیل می‌شوند.

گام دوم: نرمال‌سازی مقادیر (p_{ij}^l, p_{ij}^u)

$$\begin{aligned} p_{ij}^l &= \frac{x_{ij}^l}{\sum_{j=1}^m x_{ij}^u}, \\ p_{ij}^u &= \frac{x_{ij}^u}{\sum_{j=1}^m x_{ij}^l} \quad j=1, \\ \dots, m, i &= 1, \dots, n \end{aligned} \quad (13)$$

گام سوم: تعیین کران بالا و کران پایین بازه به ترتیب با استفاده از روابط

(۱۴) و (۱۵) قابل محاسبه می‌باشند:

$$h_i^l = \min \left\{ -h_0 \sum_{j=1}^m p_{ij}^l \cdot \ln p_{ij}^l, -h_0 \sum_{j=1}^m p_{ij}^u \cdot \ln p_{ij}^u \right\}, \quad (14)$$

$$i = 1, \dots, n$$

وزن این معیارهای اقتصادی، کاهش حجم رواناب و دبی اوج، تقریباً دو برابر دیگر شاخص‌ها، است. در ادامه به مراحل دو روش وزن‌دهی آنتروپی شانون و آنتروپی شانون فازی می‌پردازیم.

۴-۲-۱- آنتروپی شانون

در این روش فقط از اطلاعات ماتریس تصمیم استفاده می‌شود و پراکندگی بیشتر در مقادیر یک شاخص، نشان‌دهنده اهمیت بیشتر آن شاخص می‌باشد. در واقع، اهمیت هر یک از شاخص‌ها نسبت به یکدیگر، از خود اعداد درون ماتریس تعیین می‌شود. به عنوان مثال، اگر مقادیر یک شاخص در ماتریس تصمیم یکسان باشند، این شاخص نمی‌تواند اطلاعات زیادی در اختیار ما بگذارد، بنابراین از درجه اهمیت بالایی هم برخوردار نمی‌باشد. گام‌های روش آنتروپی شانون به شرح زیر است [۱۵]:

گام اول: نرمال‌سازی ماتریس تصمیم. ماتریس تصمیم ترجیحاً با روش نرم مجموع، نرمال می‌گردد.

$$r_{ij} = \frac{x_{ij}}{\sum_{i=1}^m x_{ij}}, \quad i=1, \dots, m, j=1, \quad (8)$$

که در این رابطه x_{ij} درایه‌های ماتریس تصمیم می‌باشند.

گام دوم: محاسبه میزان آنتروپی هر یک از شاخص‌ها (C_j) از فرمول زیر بدست می‌آید (منظور از میزان آنتروپی، همان پراکندگی شاخص‌ها می‌باشد):

$$E_j = -\frac{1}{\ln(m)} \left(\sum_{i=1}^m r_{ij} \ln(r_{ij}) \right) \quad j=1, \dots, n \quad (9)$$

گام سوم: تعیین اندازه عدم اطمینان یا درجه انحراف برای شاخص‌ها (d_j)

$$d_j = 1 - E_j \quad (10)$$

گام چهارم: تعیین وزن هر یک از شاخص‌ها (W_j):

$$W_j = \frac{d_j}{\sum_{j=1}^n d_j} \quad (11)$$

شود، رتبه آن بالاتر خواهد بود. بر این اساس، گزینه ایده‌آل مثبت گزینه‌ای است که بیشترین میزان مطلوبیت (کارآمدترین حالت) و گزینه ایده‌آل منفی، کمترین میزان مطلوبیت (ناکارآمدترین حالت) را داشته باشد.

از دلایل انتخاب این الگوریتم در این پژوهش می‌توان به موارد زیر اشاره کرد:

- (۱) روشی ساده و برای تعداد زیادی از گزینه‌ها و معیارها مناسب است و محدودیتی ندارد.

(۲) با توجه به وجود معیار کیفی در این پژوهش، این روش قابلیت تبدیل معیارهای کیفی را به کمی دارد.

(۳) علاوه بر تعیین گزینه برتر، رتبه سایر گزینه‌ها به صورت عددی بیان می‌شود.

به سه نکته اساسی در این روش باید توجه کرد:

(۱) معیار فاصله بین گزینه‌ها در این روش، بر اساس فاصله اقلیدسی است. اگر a و b را دو نقطه در فضای دو بعدی در نظر بگیریم فاصله بین این دو (d) از طریق فرمول (۲۰) بدست می‌آید:

$$d(a,b) = \sqrt{(x_a - x_b)^2 + (y_a - y_b)^2} \quad (20)$$

(۲) مطلوبیت هر یک از شاخص‌ها (C_i)، باید به صورت یکنوا (افزاینده یا کاهنده) باشد.

(۳) شاخص‌ها باید از یک‌دیگر مستقل باشند.

مراحل روش TOPSIS در هشت گام زیر خلاصه می‌شود [۱۹].

گام اول: تشکیل ماتریس تصمیم.

گام دوم: بی مقیاس سازی یا نرمال سازی ماتریس تصمیم (N). برای این منظور بهترین روش نرم اقلیدسی می‌باشد که در فرمول (۲۱) آورده شده است:

$$r_{ij} = \frac{x_{ij}}{\sqrt{\sum_{i=1}^m (x_{ij})^2}} \quad (21)$$

که در این رابطه x_{ij} درایه‌های ماتریس تصمیم و r_{ij} درایه‌های ماتریس تصمیم نرمال می‌باشند.

گام سوم: تعیین بردار وزن شاخص‌ها (W). برای این کار از روش‌های متفاوتی مانند: مقایسات زوجی، وزن دهی ساده، آنتروپی و غیره می‌توان

$$h_i^u = \max \left\{ -h_0 \sum_{j=1}^m p_{ij}^l \cdot \ln p_{ij}^l, -h_0 \sum_{j=1}^m p_{ij}^u \cdot \ln p_{ij}^u \right\}, \quad i=1, \dots, n \quad (15)$$

در روابط بالا $h_0 = (Lnm)^{-1}$ است و اگر p_{ij}^l و p_{ij}^u برابر صفر باشند، آنگاه $p_{ij}^u \cdot \ln p_{ij}^u$ و $p_{ij}^l \cdot \ln p_{ij}^l$ برابر صفر در نظر گرفته می‌شوند.

گام چهارم: کران پایین و کران بالا درجه تنوع به ترتیب از روابط (۱۶) و (۱۷) بدست می‌آیند:

$$d_i^l = 1 - h_i^u, \quad i=1, \dots, n \quad (16)$$

$$d_i^u = 1 - h_i^l, \quad i=1, \dots, n \quad (17)$$

گام پنجم: کران بالا و پایین برای وزن معیار i ام به ترتیب از روابط (۱۸) و (۱۹) بدست می‌آیند:

$$w_i^l = \frac{d_i^l}{\sum_{i=1}^n d_i^l}, \quad i=1, \dots, n \quad (18)$$

$$w_i^u = \frac{d_i^u}{\sum_{i=1}^n d_i^u}, \quad i=1, \dots, n \quad (19)$$

۲-۵- الگوریتم TOPSIS

این روش برای اولین بار توسط هوانگ^۱ و یون^۲ [۱۸] در سال ۱۹۸۱ ارائه شده است و یکی از بهترین و دقیق‌ترین روش‌های تصمیم‌گیری چندشاخصه محسوب می‌شود. در این روش رتبه‌بندی گزینه‌ها بر اساس بیشترین میزان شباهت یا نزدیکی به گزینه ایده‌آل مثبت و کمترین میزان شباهت به گزینه ایده‌آل منفی صورت می‌گیرد. این بدین معناست که سایر گزینه‌ها نسبت به گزینه ایده‌آل مثبت و منفی، مقایسه می‌گردند. اگر گزینه‌ای به ایده‌آل منفی نزدیک گردد، رتبه آن پایین‌تر و اگر گزینه‌ای به ایده‌آل مثبت نزدیک

1 Hwange

2 Yoon

گام هشتم: رتبه‌بندی گزینه‌ها. هر گزینه که مقدار $C_i^{(*)}$ آن بیشتر باشد، گزینه بهتری محسوب می‌گردد.

۲- الگوریتم Fuzzy TOPSIS

این روش نیز، همانند TOPSIS، یکی از روش‌های معروف و پرکاربرد تصمیم‌گیری چند معیاره، جهت رتبه‌بندی گزینه‌ها می‌باشد، با این تفاوت که در محیط فازی به کار گرفته می‌شود. این الگوریتم علاوه بر در نظر گرفتن عوامل عدم قطعیت در حل مسئله، از سادگی و سرعت مناسبی برخوردار است. برای استفاده از این روش، وزن هر یک از معیارها باید توسط روش‌هایی همچون AHP یا آنتروپی شانون فازی محاسبه گردد. روش Fuzzy TOPSIS در ۶ گام خلاصه می‌شود [۲۰]:

گام اول: ایجاد ماتریس تصمیم فازی. در ماتریس تصمیم فازی، برخلاف ماتریس تصمیم قطعی، هر درایه شامل سه عدد می‌باشد که نمایان گر کران بالا، کران وسط و کران پایین هستند.

گام دوم: نرمال‌سازی ماتریس تصمیم فازی (\tilde{v}_{ij}). برای بدست آوردن

ماتریس نرمال فازی، در صورتی که معیار مثبت باشد از فرمول (۲۸) و اگر معیار منفی باشد از فرمول (۲۹) استفاده می‌گردد:

$$\tilde{r}_{ij} = \left(\frac{a_{ij}}{c_j^*}, \frac{b_{ij}}{c_j^*}, \frac{c_{ij}}{c_j^*} \right) \rightarrow c_j^* = \max c_{ij} \quad (28)$$

$$\tilde{r}_{ij} = \left(\frac{a_j^-}{c_{ij}}, \frac{a_j^-}{b_{ij}}, \frac{a_j^-}{a_{ij}} \right) \rightarrow a_j^- = \min a_{ij} \quad (29)$$

که در آن a_{ij} حد پایین، b_{ij} کران وسط و c_{ij} کران بالا ماتریس تصمیم فازی می‌باشد.

گام سوم: ایجاد ماتریس نرمال وزن دار (\tilde{v}_{ij}) برای این منظور ماتریس نرمال را در وزن هر معیار (w_j) ضرب می‌کنیم.

$$\tilde{v}_{ij} = \tilde{r}_{ij} * w_j \quad (30)$$

گام چهارم: مشخص نمودن ایده‌آل مثبت (A^*) و ایده‌آل منفی (A^-) فازی. ایده‌آل مثبت برابر با بزرگترین درایه هر ستون و ایده‌آل منفی برابر با

استفاده کرد. در این پژوهش از وزن دهی آنتروپی شانون استفاده شده است که در ادامه به شرح مراحل این روش می‌پردازیم.

گام چهارم: تعیین ماتریس تصمیم نرمال وزن دار (V). این ماتریس از ضرب ماتریس تصمیم نرمال در بردار وزن معیارها بدست می‌آید.

$$V_{ij} = W_j \times r_{ij} \quad (22)$$

گام پنجم: تعیین گزینه ایده‌آل مثبت و منفی. گزینه ایده‌آل مثبت (برداری از بهترین گزینه‌های موجود در هر ستون) و گزینه ایده‌آل منفی (برداری از بدترین گزینه‌های موجود در هر ستون) می‌باشد. در واقع ایده‌آل مثبت، بیشترین مقدار هر ستون در ماتریس و ایده‌آل منفی، کمترین مقدار هر ستون در ماتریس می‌باشد و به ترتیب از روابط (۲۳) و (۲۴) بدست می‌آیند:

$$A^{(*)} = \{ \max v_{i1}, \max v_{i2}, \dots, \max v_{in} \} \quad (23)$$

$$A^{(-)} = \{ \min v_{i1}, \min v_{i2}, \dots, \min v_{in} \} \quad (24)$$

گام ششم: محاسبه فاصله از ایده‌آل مثبت و منفی. فاصله از گزینه ایده‌آل مثبت ($S_i^{(*)}$) و فاصله از گزینه ایده‌آل منفی ($S_i^{(-)}$) به ترتیب از روابط (۲۳) و (۲۴) بدست می‌آیند:

$$S_i^{(*)} = \sqrt{\sum_{j=1}^n (v_{ij} - \max v_{ij})^2} \quad (25)$$

$$S_i^{(-)} = \sqrt{\sum_{j=1}^n (v_{ij} - \min v_{ij})^2} \quad (26)$$

گام هفتم: محاسبه نزدیکی نسبی به ایده‌آل مثبت ($C_i^{(*)}$). این مقدار همواره بین صفر و یک می‌باشد و هر چه گزینه به ایده‌آل مثبت نزدیک‌تر شود مقدار $C_i^{(*)}$ به عدد یک نزدیک‌تر خواهد شد. مقدار $C_i^{(*)}$ از رابطه (۲۷) بدست می‌آید:

$$C_i^{(*)} = \frac{S_i^{(*)}}{S_i^{(*)} + S_i^{(-)}} \quad (27)$$

جدول ۲. مقادیر حجم رواناب کاهش یافته در اثر استفاده از هر یک از سناریوها

Table 2. Reduction of runoff volume due to the use of the scenarios

| سناریوها | روکش نفوذپذیر | ترانشه نفوذ | سیستم نگهداشت زیستی | بسکه باران | بسکه باران | سیستم نگهداشت زیستی + نفوذپذیر |
|---------------|---------------|-------------|---------------------|------------|------------|--------------------------------|
| کاهش حجم (m³) | ۲۹۰۳ | ۳۸۱ | ۴۳۲ | ۲۸۱۷ | ۳۳۰۵ | ۳۳۳۷ |

جدول ۳. مقادیر دبی اوج رواناب کاهش یافته در اثر استفاده از هر یک از سناریوها

Table 3. Reduction of peak discharge of runoff due to use of the scenarios

| سناریوها | روکش نفوذپذیر | ترانشه نفوذ | سیستم نگهداشت زیستی | بسکه باران | بسکه باران | سیستم نگهداشت زیستی + نفوذپذیر |
|---------------------|---------------|-------------|---------------------|------------|------------|--------------------------------|
| کاهش دبی اوج (m³/s) | ۰/۳۷۲ | ۰/۰۳۹ | ۰/۰۵۲ | ۰/۳۴۲ | ۰/۴ | ۰/۴۱۷ |

$$CC_i = \frac{d_i^-}{d_i^- + d_i^+} \quad (35)$$

گام هفتم: رتبه‌بندی گزینه‌ها. بر اساس ترتیب نزولی CC_i گزینه‌های موجود رتبه‌بندی می‌شوند. یعنی هرچه مقدار شاخص شباهت بیشتر باشد، در رتبه بالاتر و هر چه مقدار این شاخص کمتر باشد، در رتبه پایین تر قرار خواهد گرفت.

۳- نتایج و بحث

۳-۱- نتایج تجزیه تحلیل هیدرولوژیک

با اجرای ۶ سناریوی مدیریت رواناب سطحی، مقادیر حجم و دبی رواناب کل حوضه کاهش یافت. این روش‌ها در ۱۶ زیرحوضه منتخب از تعداد ۱۷ زیرحوضه (به غیر از زیرحوضه ۱۲)، اعمال شدند. در هر زیرحوضه، بسته به نوع منطقه و پتانسیل اجرای هر روش، نسبت‌های متفاوتی از مساحت برای هر کدام از این روش‌ها در نظر گرفته شده است که این موضوع منجر به تفاوت در میزان حجم و دبی اوج رواناب کاهش یافته شده است. در جداول ۲ و ۳، به ترتیب مقادیر حجم رواناب کاهش یافته و دبی اوج کاهش یافته، نشان داده شده‌اند.

با توجه به نتایج جدول بالا مشاهده می‌شود که بیشترین میزان

کوچکترین درایه هر ستون می‌باشد.

$$A^* = (\tilde{v}_1^*, \tilde{v}_2^*, \dots, \tilde{v}_n^*) \text{ where } \tilde{v}_j^* = (\tilde{c}_j^*, \tilde{c}_j^*, \tilde{c}_j^*) \text{ and } \tilde{c}_j^* = \max \{\tilde{c}_{ij}\} \quad (31)$$

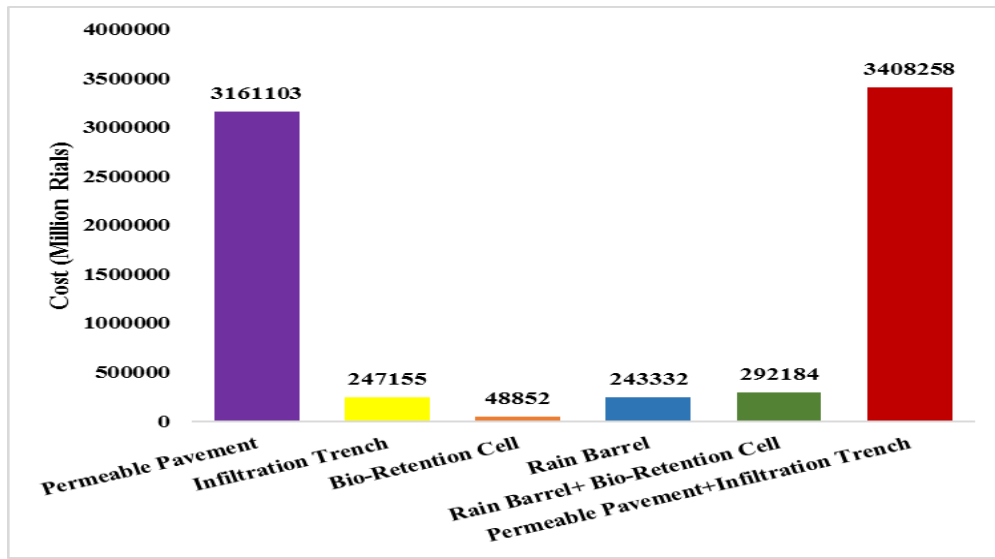
$$A^- = (\tilde{v}_1^-, \tilde{v}_2^-, \dots, \tilde{v}_n^-) \text{ where } \tilde{v}_j^- = (\tilde{a}_j^-, \tilde{a}_j^-, \tilde{a}_j^-) \text{ and } \tilde{a}_j^- = \min \{\tilde{a}_{ij}\} \quad (32)$$

گام پنجم: محاسبه فواصل از ایده‌آل مثبت (d_i^+) و منفی (d_i^-) که از فرمول (۳۳) و (۳۴) قابل محاسبه است:

$$d_i^+ = \sum_{j=1}^n dv(\tilde{v}_{ij}, \tilde{v}_j^*), \quad i=1, 2, \dots, m \quad (33)$$

$$d_i^- = \sum_{j=1}^n dv(\tilde{v}_{ij}, \tilde{v}_j^-), \quad i=1, 2, \dots, m \quad (34)$$

گام ششم: محاسبه شاخص شباهت به گزینه ایده‌آل (CC_i).



شکل ۴. نمودار ستونی هزینه کل هر یک از سناریوها

Fig. 4. Column diagram regarding the total cost of each of the scenarios

و کاهش حجم رواناب، با ۵ گزینه خیلی کم، کم، متوسط، زیاد و خیلی زیاد، مورد بررسی قرار می‌دهد. سپس برای تبدیل نتایج پرسشنامه به اعداد فازی، میانگین هر یک از گزینه‌های خیلی زیاد، زیاد، متوسط، کم و خیلی کم به عنوان کران وسط، کمترین و بیشترین درصد پذیرش که توسط متخصصان به سناریو تعلق گرفته است، به ترتیب به عنوان کران پایین و کران بالا، در نظر گرفته شده‌اند. سپس با انتقال نتایج به نرم‌افزار SPSS، درصد فراوانی، میانگین و انحراف معیار هر یک از روش‌ها بدست آمد. جدول ۴ و نمودار ستونی شکل ۵، درصد فراوانی پذیرش هر یک از سناریوها را که توسط متخصصین تکمیل شده‌اند، نشان می‌دهد.

با توجه به جدول ۴ و نمودار شکل ۵ می‌توان دریافت که از دید متخصصان، سناریوهای ترکیبی روکش نفوذپذیر+ترانشه نفوذ و بعد از آن سیستم نگهداشت‌زیستی+ بشکه باران کارآمدترین سناریوها، جهت مدیریت رواناب شهری، در منطقه مطالعاتی موردنظر بوده و بیشترین درصد فراوانی را در گزینه زیاد و خیلی زیاد، دارند. سناریوی ترانشه نفوذ، با آرای ۴۰ درصدی متخصصین به گزینه خیلی کم، از کارآمدی کمتری نسبت به سایر سناریوها، برخوردار بوده است. همان‌طور که از جدول ۵ پیداست، سناریوی ترکیبی روکش نفوذپذیر-ترانشه نفوذ، با میانگین ۷/۵، دارای بیشترین سطح پذیرش و ترانشه نفوذ، با

حجم و دبی اوج رواناب کاهش یافته مربوط به اجرای روش ترکیبی «روکش نفوذپذیر-ترانشه نفوذ» است. با اجرای این روش حجم و دبی اوج رواناب به ترتیب ۳۳۳۷ متر مکعب و ۰/۴۱۷ متر مکعب بر ثانیه کاهش می‌یابند.

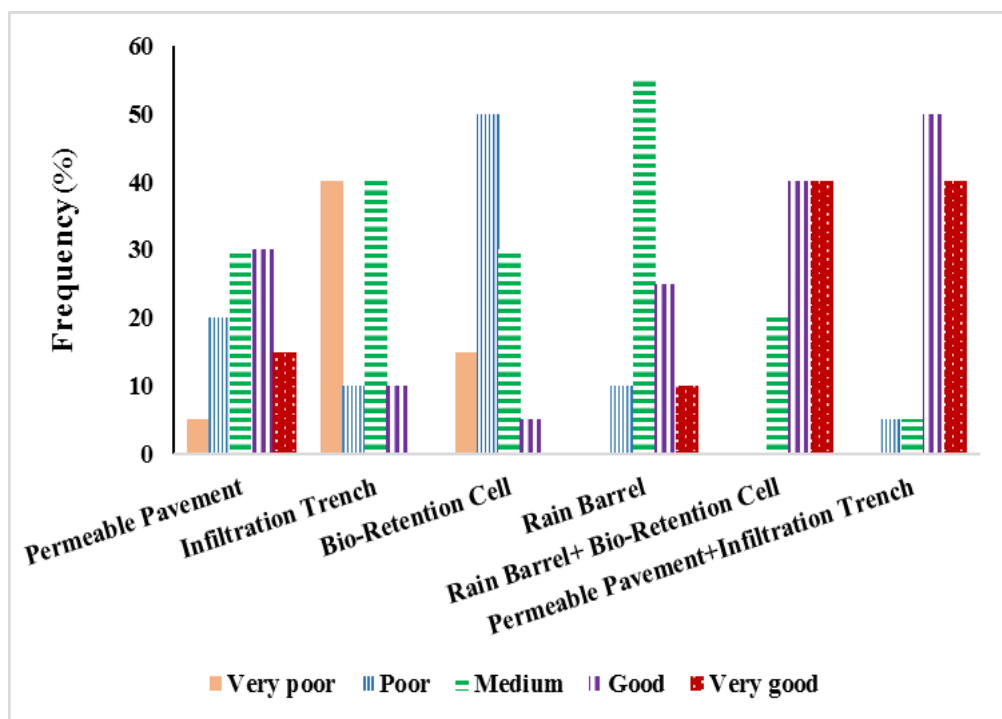
۳-۱- نتایج تجزیه تحلیل اقتصادی (هزینه)
در نمودار شکل ۴، هزینه اجرای هریک از روش‌های LID، نشان داده شده است: طبق نمودار شکل ۴ بیشترین هزینه را سناریوی ترکیبی روکش نفوذپذیر-ترانشه نفوذ و کمترین هزینه را سناریوی سیستم نگهداشت زیستی به خود اختصاص داده‌اند.

۳-۲- نتایج شاخص اجتماعی
برای سنجیدن میزان پذیرش هر یک از سناریوها توسط متخصصان محلی منطقه مطالعاتی، تعداد ۲۰ عدد پرسشنامه، تکمیل شد. پرسش نامه شامل سؤالاتی است که میزان آبگرفتگی معابر، انتقال آبودگی توسط رواناب، میزان عملکرد شهرداری منطقه مطالعاتی در خصوص مدیریت رواناب شهری، مؤثر بودن روش‌های توسعه کم اثر در کاهش حجم رواناب و میزان کارآمدی هر یک از سناریوهای مدیریت رواناب شهری را در کاهش آبگرفتگی معابر

جدول ۴. درصد فراوانی پذیرش سناریوها از نظر متخصصان

Table 4. The frequency of acceptance of the scenarios completed by the experts

| سناریو/ میزان پذیرش | | | | | |
|----------------------------------|-----------|-------|----|---------|------|
| | خیلی زیاد | متوسط | کم | خیلی کم | زیاد |
| روکش نفوذپذیر | | | ۵ | ۲۰ | ۳۰ |
| ترانشه نفوذ | | | ۴۰ | ۱۰ | ۱۰ |
| سیستم نگهداری زیستی | | | ۱۵ | ۵۰ | ۳۰ |
| بشکه باران | | | ۰ | ۱۰ | ۲۵ |
| سیستم نگهداری زیستی + بشکه باران | | | ۰ | ۰ | ۲۰ |
| روکش نفوذپذیر + ترانشه نفوذ | | | ۰ | ۵ | ۵۰ |



شکل ۵. نمودار درصد فراوانی هر یک از سناریوها از دید متخصصین

Fig. 5. Diagram regarding the percentage of frequency for each scenario from the viewpoint of experts

جدول ۵. میانگین، انحراف معیار و اولویت هر یک از سناریوهای مدیریت رواناب شهری از نظر متخصصان

Table 5. Average, standard deviation and priority of the urban runoff management scenarios from the viewpoint of experts

| سناریو | روکش نفوذپذیر + ترانشه نفوذ | سیستم نگهداشت زیستی | بسکه باران | سیستم نگهداشت زیستی + بسکه باران | روکش نفوذپذیر + ترانشه نفوذ | میانگین اولویت | انحراف معیار | ۱ |
|----------------------------------|-----------------------------|---------------------|------------|----------------------------------|-----------------------------|----------------|--------------|-----|
| روکش نفوذپذیر | | | | | | ۴ | ۲/۲۵ | ۵/۶ |
| ترانشه نفوذ | | | | | | ۶ | ۲/۲۱ | ۳/۴ |
| سیستم نگهداشت زیستی | | | | | | ۵ | ۱/۵۷ | ۳/۵ |
| بسکه باران | | | | | | ۳ | ۱/۶۲ | ۵/۷ |
| سیستم نگهداشت زیستی + بسکه باران | | | | | | ۲ | ۱/۵۳ | ۷/۴ |
| روکش نفوذپذیر + ترانشه نفوذ | | | | | | ۱ | ۱/۵۷ | ۷/۵ |

جدول ۶. مقادیر نسبت‌های وزن دهی به شاخص‌ها

Table 6. Values of weighting ratios to criteria

| وزن دهی | آنتروپی شانون | کاهش دبی | کاهش حجم | هزینه | اجتماعی |
|---------|---------------------------|----------|----------|--------|---------|
| | آنتروپی شانون | ۱۵/۱۷ | ۱۴/۳۷۹ | ۶۷/۴۶۳ | ۲/۹۸۸ |
| | وزن دهی یکسان | ۲۵ | ۲۵ | ۲۵ | ۲۵ |
| | تأکید بر معیار اقتصادی | ۲۰ | ۲۰ | ۴۰ | ۲۰ |
| | تأکید بر معیار هیدرولوژیک | ۳۴ | ۳۴ | ۱۶ | ۱۶ |

هیدرولوژیک، دو شاخص کاهش دبی و کاهش حجم، وزنی تقریباً دو برابر از شاخص‌های دیگر را به خود اختصاص داده‌اند، در نتیجه از اهمیت بالاتری برخوردار هستند. لازم به ذکر است که مجموع وزن همه شاخص‌ها در حالتهای وزن دهی مختلف برابر با ۱۰۰ در نظر گرفته شده است.

۳-۵- نتایج وزن دهی در حالت عدم قطعیت

برای استفاده از الگوریتم TOPSIS، در حالت عدم قطعیت، از روش آنتروپی شانون فازی استفاده شد که برای این منظور ابتدا به تشکیل ماتریس تصمیم‌فازی می‌پردازیم. لازم به ذکر است که دو شاخص اجتماعی و اقتصادی (هزینه)، به دلیل عدم قطعیت بودن آن‌ها، به فرم اعداد فازی مثلثی می‌باشند و بدینانه ترین مقدار، محتمل‌ترین مقدار و خوش‌بینانه‌ترین مقدار هر یک در نظر گرفته شده است. دو شاخص کاهش دبی اوج و کاهش

میانگین ۳/۴، کمترین سطح پذیرش را دارا می‌باشد.
۳-۴- نتایج وزن دهی در حالت قطعی
در حالت قطعی و برای الگوریتم TOPSIS، از چهار حالت وزن دهی آنتروپی شانون، یکسان، تأکید بر معیار اقتصادی و تأکید بر معیار هیدرولوژیک استفاده شد که نتایج آن در جدول ۶ آورده شده است.

همان‌طور که در جدول ۶ مشاهده می‌شود، شاخص هزینه، در حالت وزن دهی آنتروپی شانون، از پرائندگی بیشتری برخوردار بوده است، در نتیجه مقدار بیشتری از سه شاخص دیگر را به خود اختصاص داده است و وزن و اهمیت بالاتری دارد. در وزن دهی یکسان، اهمیت هر سه شاخص به طور یکسان در نظر گرفته شده است. در حالت وزن دهی تأکید بر معیار اقتصادی، شاخص هزینه، وزنی دو برابر و در حالت وزن دهی تأکید بر معیار

جدول ۷. ماتریس تصمیم فازی

Table 7. The fuzzy decision matrix

| ماتریس تصمیم | کاهش دی اوج رواناب (C ₁) | کاهش حجم رواناب [*] (C ₂) ^{10^-3} | اقتصادی (C ₃) | اجتماعی (C ₄) |
|---|---|--|---------------------------|---------------------------|
| آسفالت نفوذپذیر (A ₁) | (۰/۳۷۲، ۰/۳۷۲) | (۳۹۰۳، ۲۹۰۳، ۲۹۰۳) | (۳۱۶۱۱۰۳، ۶۷۰۵۳۷۰) | (۱، ۵/۶، ۹) |
| ترانشه نفوذ (A ₂) | (۰/۰۳۹، ۰/۰۳۹) | (۳۸۱، ۳۸۱، ۳۸۱) | (۲۴۷۱۵۵، ۴۱۱۷۷۰) | (۱، ۳/۴، ۷) |
| سیستم نگهداری زیستی (A ₃) | (۰/۰۵۲، ۰/۰۵۲) | (۴۳۲، ۴۳۲، ۴۳۲) | (۳۱۱۹۲، ۴۸۸۵۲، ۶۲۳۸۴) | (۱، ۳/۵، ۷) |
| بشکه باران (A ₄) | (۰/۳۴۲، ۰/۳۴۲) | (۲۸۱۷، ۲۸۱۷، ۲۸۱۷) | (۲۴۳۳۳۲، ۲۸۶۷۵۵) | (۳، ۵/۷، ۹) |
| سیستم نگهداری زیستی+ بشکه باران (A ₅) | (۰/۰۴، ۰/۰۴، ۰/۰۴) | (۳۳۰۵، ۳۳۰۵، ۳۳۰۵) | (۲۹۲۱۸۴، ۳۴۹۱۳۹) | (۵، ۷/۴، ۹) |
| روکش نفوذپذیر+ ترانشه نفوذ (A ₆) | (۰/۴۱۷، ۰/۴۱۷) | (۳۳۳۷، ۳۳۳۷، ۳۳۳۷) | (۳۴۰۸۲۵۸، ۷۱۱۷۱۴۰) | (۵، ۷/۶، ۹) |
| | | | (۲۵۵۹۴۸۳) | |

۳- نتایج روش TOPSIS

نتایج اولویت‌بندی سناریوهای مدیریت رواناب شهری با استفاده از روش TOPSIS در جداول ۹ تا ۱۲ ارائه شده است. با توجه به روابط گفته شده، نزدیکی نسبی به ایده‌آل مثبت برای هر سناریو بدست آمده است که این مقادیر هموار بین صفر و یک می‌باشد. هر چه این مقدار به عدد یک نزدیکتر باشد، سناریو به جواب ایده‌آل نزدیک‌تر و راهکار بهتری می‌باشد.

با توجه به جداول ۹ تا ۱۲ می‌توان دریافت که در حالت وزن دهی آنتروپی شانون بهترین سناریو بشکه باران و در حالت‌های وزن دهی یکسان و تأکید بر معیار اقتصادی و هیدرولوژیک، بهترین سناریو، سناریوی ترکیبی سیستم نگهداری زیستی- بشکه باران در منطقه مورد مطالعه می‌باشدند.

۳- نتایج روش Fuzzy TOPSIS

برای استفاده از این الگوریتم، از ماتریس فازی جدول شماره ۷ و برای وزن دهی به معیارها از روش آنتروپی شانون فازی که نتایج آن در جدول شماره ۸ آورده شده است، استفاده شد. جدول ۱۳ نتایج بدست آمده از روش

حجم رواناب به دلیل قطعی بودن که از نرم‌افزار SWMM بدست آمده‌اند، بدینانه‌ترین مقدار، محتمل‌ترین مقدار و خوش‌بینانه‌ترین مقدار یکسان در نظر گرفته می‌شوند، مانند: (۰/۰۳۷۲، ۰/۰۳۷۲). ماتریس تصمیم فازی نهایی در جدول ۷ نشان داده شده است:

پس از تشکیل ماتریس تصمیم فازی، با استفاده از فرمول (۹)، اعداد فازی به بازه تبدیل می‌شوند که برای این منظور مقدار α برابر $5/0$ در نظر گرفته شده است. پس از این، مقادیر نرمال شده $[p_{ij}^u, p_{ij}^l]$ ، کران بالا و کران پایین بازه آنتروپی $[h_i^l, h_i^u]$ ، درجه تنوع $[d_i^l, d_i^u]$ ، کران پایین و بالای وزن هر معیار $[W_i^l, W_i^u]$ و در آخر وزن نهایی هر معیار $W_j = \frac{W_i^l + W_i^u}{2}$ ، محاسبه شده است. نتایج محاسبات وزن دهی آنتروپی شانون فازی در جدول ۸ آورده شده است. با توجه به جدول ۸، وزن معیار C_3 (هزینه)، از همه بیشتر و از اهمیت بالاتری برخوردار است.

جدول ۸. داده‌های نرمال شده، بازه آنتروپی، بازه درجه تنوع معیارها، بازه وزن معیارها و وزن نهایی معیارها

Table 8. Computations of Fuzzy Shannon's entropy method

| معیارها | (C_1) $[p_{ij}^u, p_{ij}^l]$ | (C_2) $[p_{ij}^u, p_{ij}^l]$ | (C_3) $[p_{ij}^u, p_{ij}^l]$ | (C_4) $[p_{ij}^u, p_{ij}^l]$ |
|------------------|-----------------------------------|-----------------------------------|-----------------------------------|-----------------------------------|
| (A_1) | [۰/۲۲۹ ۰/۲۲۹] | [۰/۲۲ ۰/۲۲] | [۰/۲۴۸ ۰/۷۵۹] | [۰/۰۷۹ ۰/۰۲۹] |
| (A_2) | [۰/۰۲۴ ۰/۰۲۴] | [۰/۰۲۸ ۰/۰۲۸] | [۰/۰۱۸ ۰/۰۵] | [۰/۰۵۲ ۰/۲۱۱] |
| (A_3) | [۰/۰۳۲ ۰/۰۳۲] | [۰/۰۳۲ ۰/۰۳۲] | [۰/۰۰۳ ۰/۰۰۸] | [۰/۰۵۴ ۰/۲۱۳] |
| (A_4) | [۰/۲۱ ۰/۲۱] | [۰/۲۱۳ ۰/۲۱۲] | [۰/۰۲ ۰/۰۴] | [۰/۱۰۴ ۰/۲۹۸] |
| (A_5) | [۰/۲۴۶ ۰/۲۴۶] | [۰/۲۵ ۰/۲۵] | [۰/۰۲۳ ۰/۰۴۹] | [۰/۱۴۹ ۰/۳۳۳] |
| (A_6) | [۰/۲۵۷ ۰/۲۵۷] | [۰/۲۵۳ ۰/۲۵۳] | [۰/۲۶۷ ۰/۸۱] | [۰/۱۵۱ ۰/۳۳۷] |
| $[h_i^l, h_i^u]$ | [۰/۸۷ ۰/۸۷] | [۰/۸۷۷ ۰/۸۷۷] | [۰/۲۸۳ ۰/۴۴۸] | [۰/۷۳۶ ۱,۱۷۸] |
| $[d_i^l, d_i^u]$ | [۰/۱۲۹ ۰/۱۲۹] | [۰/۱۲۲ ۰/۱۲۲] | [۰/۵۵۱ ۰/۷۱۶] | [۰ ۰/۲۶۳] |
| $[w_i^l, w_i^u]$ | [۰/۱۰۴ ۰/۱۰۴] | [۰/۰۹۹ ۰/۱۵۲] | [۰/۴۴۷ ۰/۸۹۲] | [۰ ۰/۳۲۸] |
| w_j | ۰/۱۳۲ | ۰/۱۲۵ | ۰/۶۷ | ۰/۱۶۴ |

جدول ۹. رتبه‌بندی سناریوهای مدیریت رواناب شهری با استفاده از روش TOPSIS در حالت وزن دهنده آنتروپی شانون

Table 9. Ranking of urban runoff management scenarios using the TOPSIS method in Shannon's entropy weighting mode

| سناریو | فاصله نسبی از ایده‌آل مثبت | رتبه‌بندی | فاصله نسبی از ایده‌آل منفی |
|----------------------------------|----------------------------|-----------|----------------------------|
| روکش نفوذ پذیر | ۰/۱۷۴ | ۵ | |
| ترانشه نفوذ | ۰/۸۱۲ | ۴ | |
| سیستم نگهداری زیستی | ۰/۸۳ | ۳ | |
| بشکه باران | ۰/۹۳ | ۱ | |
| سیستم نگهداری زیستی + بشکه باران | ۰/۹۲ | ۲ | |
| روکش نفوذ پذیر + ترانشه نفوذ | ۰/۱۷۲ | ۶ | |

جدول ۱۰. رتبه‌بندی سناریوهای مدیریت رواناب شهری با استفاده از روش TOPSIS در حالت وزن دهنده یکسان

Table 10. Ranking of urban runoff management scenarios using the TOPSIS method in the equal weighting mode

| سناریو | راحتی شباهت به گزینه ایده‌آل | رتبه‌بندی | شاخص شباهت به گزینه ایده‌آل |
|----------------------------------|------------------------------|-----------|-----------------------------|
| روکش نفوذ پذیر | ۰/۴۷۲ | ۶ | |
| ترانشه نفوذ | ۰/۴۷۶ | ۵ | |
| سیستم نگهداری زیستی | ۰/۴۹۸ | ۴ | |
| بشکه باران | ۰/۸۲۷ | ۲ | |
| سیستم نگهداری زیستی + بشکه باران | ۰/۹۴۴ | ۱ | |
| روکش نفوذ پذیر + ترانشه نفوذ | ۰/۵۰ | ۳ | |

جدول ۱۱. رتبه‌بندی سناریوهای مدیریت رواناب شهری با استفاده از روش TOPSIS در حالت تأکید بر معیار اقتصادی

Table 11. Ranking of urban runoff management scenarios using the TOPSIS method in the emphasis on economic criteria weighting mode

| سناریو | شاخص شباهت به گزینه ایده‌آل | رتبه‌بندی |
|----------------------------------|-----------------------------|-----------|
| روکش نفوذپذیر | ۰/۳۱۶ | ۶ |
| ترانشه نفوذ | ۰/۶۴۴ | ۴ |
| سیستم نگهداشت زیستی | ۰/۶۶۵ | ۳ |
| بشکه باران | ۰/۸۸ | ۲ |
| سیستم نگهداشت زیستی + بشکه باران | ۰/۹۳ | ۱ |
| روکش نفوذپذیر + ترانشه نفوذ | ۰/۳۴ | ۵ |

جدول ۱۲. رتبه‌بندی سناریوهای مدیریت رواناب شهری با استفاده از روش TOPSIS در حالت تأکید بر معیار هیدرولوژیک

Table 12. Ranking of urban runoff management scenarios using the TOPSIS method in the emphasis on hydrological criteria weighting mode

| سناریو | شاخص شباهت به گزینه ایده‌آل | رتبه‌بندی |
|----------------------------------|-----------------------------|-----------|
| روکش نفوذپذیر | ۰/۶۴۲ | ۴ |
| ترانشه نفوذ | ۰/۳۱۳ | ۶ |
| سیستم نگهداشت زیستی | ۰/۳۳۳ | ۵ |
| بشکه باران | ۰/۸۱۸ | ۲ |
| سیستم نگهداشت زیستی + بشکه باران | ۰/۹۵ | ۱ |
| روکش نفوذپذیر + ترانشه نفوذ | ۰/۶۷ | ۳ |

جدول ۱۳. رتبه‌بندی سناریوهای مدیریت رواناب شهری با استفاده از روش تاپسیس فازی در حالت وزن دهنی آنتروپی شانون فازی

Table 13. Ranking of urban runoff management scenarios using the Fuzzy TOPSIS method in the fuzzy Shannon's entropy weighting mode

| سناریو | شاخص شباهت به گزینه ایده‌آل | رتبه‌بندی |
|----------------------------------|-----------------------------|-----------|
| روکش نفوذپذیر | ۰/۲۵۵ | ۵ |
| ترانشه نفوذ | ۰/۱۶۷ | ۶ |
| سیستم نگهداشت زیستی | ۰/۴۲۸ | ۱ |
| بشکه باران | ۰/۳۰۱ | ۳ |
| سیستم نگهداشت زیستی + بشکه باران | ۰/۳۱۹ | ۲ |
| روکش نفوذپذیر + ترانشه نفوذ | ۰/۲۷۸ | ۴ |

یکی از مهم‌ترین ابزارهای کیفی پشتیبانی از تصمیم‌می‌باشد و تلفیق آن با روشی کیفی همچون دیمتال، جهت اولویت‌بندی سناریوهای مورد استفاده در این مطالعه، به پژوهشگران آتی، پیشنهاد می‌گردد.

منابع

- [1] S.S. Eslamian, S.S. Okhravi, Principles of Designing Rainwater Harvesting Systems (Residential Application), Kankash 2015.
- [2] L.A. Rossman, Storm water management model user's manual, version 5.0, National Risk Management Research Laboratory, Office of Research and Development 2010.
- [3] H. Jia, Y. Lu, L.Y. Shaw, Y. Chen, Planning of LID–BMPs for urban runoff control: The case of Beijing Olympic Village, Separation and Purification Technology, 84 (2012) 112-119.
- [4] M. Soleymani, K. Behzadian, A. Ardestir, Evaluation of strategies for modifying urban storm water drainage system using risk-based criteria, (2015) 16-29.
- [5] A. Campisano, F.V. Catania, C. Modica, Evaluating the SWMM LID Editor rain barrel option for the estimation of retention potential of rainwater harvesting systems, Urban Water Journal, 14 (2017) 876-881.
- [6] Poursahebi, M.Z. Niri, S.M. Ghoudarzi, Simulating of LID-BMP Methods on Urban Runoff (Case Study: District 22, Tehran), Journal of Water and Wastewater, 30 (2019) 114-121. (In Persian)
- [7] Y. Wang, M. Sun, B. Song, Public perceptions of and willingness to pay for sponge city initiatives in China, Resources, Conservation and Recycling, 122 (2017) 11-20.
- [8] G. Liu, L. Chen, Z. Shen, Y. Xiao, G. Wei, A fast and robust simulation-optimization methodology for stormwater quality management, Journal of Hydrology, 576 (2019) 520-527.
- [9] M. Randall, F. Sun, Y. Zhang, M.B. Jensen, Evaluating Sponge City volume capture ratio at the catchment scale using SWMM, Journal of environmental management, 246 (2019) 745-757.

Fuzzy TOPSIS را نشان می‌دهد.

در این روش نیز هر چه شاخص شbahat به گزینه ایده‌آل، به یک نزدیکتر باشد، سناریو کارآمدتر می‌باشد، بنابراین سیستم نگهداشت زیستی به عنوان سناریوی برتر شناخته می‌شود.

۴- نتیجه‌گیری

این پژوهش به منظور اولویت‌بندی روش‌های توسعه کم‌اثر (LID)، جهت مدیریت رواناب سطحی، در شهرک سپاهان شهر اصفهان، انجام شده است. در این پژوهش ۶ سناریو «سیستم نگهداشت زیستی»، «روکش نفوذپذیر»، « بشکه ذخیره باران»، « روکش نفوذپذیر-ترانشه نفوذ» و « بشکه ذخیره باران-سیستم نگهداشت زیستی» استفاده شد. توسط دو الگوریتم Fuzzy TOPSIS و TOPSIS چند شاخصه شامل: وزن دهنده حالت‌های آنتروپی شانون، یکسان، تأکید بر معیار اقتصادی و تأکید بر معیار هیدرولوژیکی برای روش Fuzzy TOPSIS و حالت وزن دهنده آنتروپی شانون فازی برای روش TOPSIS و در حالت‌های وزن دهنده شد. نتایج نشان داد که در روش TOPSIS و در حالت‌های وزن دهنده یکسان، تأکید بر معیار اقتصادی و تأکید بر معیار هیدرولوژیک، سناریوی ترکیبی بشکه باران-سیستم نگهداشت زیستی و در حالت وزن دهنده آنتروپی شانون، سناریوی بشکه باران به عنوان سناریوی برتر انتخاب شدند. همچنین در روش Fuzzy TOPSIS، سناریوی سیستم نگهداشت زیستی، رتبه اول را کسب نمود. با توجه به متفاوت بودن سناریوی برتر در حالت قطعی و با وزن دهنده‌های مختلف، انتخاب سناریوی کارآمد باید توسط متخصصان محلی و با توجه به اهمیت هر شاخص، متناسب با منطقه مطالعاتی صورت گیرد. سناریوی برتر سیستم نگهداشت زیستی، حاصل از الگوریتم Fuzzy TOPSIS به دلیل در نظر گرفتن عوامل عدم قطعیت و اجرای آسان این سناریو، در منطقه مطالعاتی پیشنهاد می‌گردد. علاوه بر این، منطقه موردنظر دارای زمین‌های بسیاری برای اجرای این سناریو می‌باشد و از لحاظ بصری، جلوه ویژه‌ای به نمای شهر می‌بخشد.

با استفاده از نتایج این پژوهش می‌توان برنامه‌ریزی بهتری جهت مدیریت و کنترل رواناب سطحی شهری، در محدوده شهرک سپاهان شهر، انجام داد. همچنین مسئولان و مدیران شهری می‌توانند براساس دیگر سناریوهای مدیریتی و با توجه به اهداف و دیدگاه‌های مختلف خود، به اولویت‌بندی و انتخاب بهترین راهکار جهت مدیریت رواناب سطحی شهری پردازنند. استفاده از آنالیز ماتریس نقاط قوت و ضعف، فرصت‌ها و تهدیدها (SWOT)، که

- and multi attribute decision making, Entropy, 12 (2010) 53-62.
- [16] A.J. Chaghosh, M.R. Fathi, M. Kashef, Integration of fuzzy Shannon's entropy with fuzzy TOPSIS for industrial robotic system selection, Journal of Industrial Engineering and Management (JIEM), 5 (2012) 102-114.
- [17] S. Hatefi, N. Koohi Habibi, E. Abdollahi, Evaluating investment potential tourism centers using integrated model of fuzzy Shannon's entropy and fuzzy ARAS method, Tourism Management Studies, 14 (2019). (In Persian)
- [18] C.-L. Hwang, A.S.M. Masud, Multiple objective decision making—methods and applications: a state-of-the-art survey, Springer Science & Business Media 2012.
- [19] H.-S. Shih, H.-J. Shyur, E.S. Lee, An extension of TOPSIS for group decision making, Mathematical and computer modelling, 45 (2007) 801-813.
- [20] S.K. Patil, R. Kant, A fuzzy AHP-TOPSIS framework for ranking the solutions of Knowledge Management adoption in Supply Chain to overcome its barriers, Expert systems with applications, 41 (2014) 679-693.
- [10] A. De Montis, P. De Toro, B. Droste-Franke, I. Omann, S. Stagl, Criteria for quality assessment of MCDA methods, 3rd Biennial Conference of the European Society for Ecological Economics, Vienna, Citeseer, 2000, pp. 3-6
- [11] M.S. Jebel Ameli, A. Rezaeifar, A. Chaeibaaksh Langroudi, Risk ranking of project using multicriteria decision-making processs, journal of Faculty of Engineering, 41 (2005) 863-871. (In Persian)
- [12] R. Lagzian, Identifying and prioritizing surface runoff management scenarios using multi-criteria decision making techniques for Neishabour city, University of Agricultural Sciences and Natura Resources, 2014. (In Persian)
- [13] H.R. Safavi, S. Dadjou, N. G., Extraction of Intensity-Duration-Frequency (IDF) Curves Under Climate Change, Case study: Isfahan Synoptic Station, Iran-Water Resources Research, 15 (2019) 217-227. (In Persian)
- [14] L.A. Zadeh, The concept of a linguistic variable and its application to approximate reasoning, Learning systems and intelligent robots, Springer1974, pp. 1-10.
- [15] F.H. Lotfi, R. Fallahnejad, Imprecise Shannon's entropy

چگونه به این مقاله ارجاع دهیم

N. Aghili Mahabadi, H. R. Zarif Sanaei, S. M. Hatefi, Prioritization of Low-Impact Development Methods for Management of Urban Surface Runoff, Using the Fuzzy TOPSIS and TOPSIS Method(Case Study: Sepahan-Shahr Town, Isfahan), Amirkabir J. Civil Eng., 53(11) (2022) 4895-4912.

DOI: [10.22060/ceej.2020.18619.6909](https://doi.org/10.22060/ceej.2020.18619.6909)

